

II-153 移動床流れの抵抗則に関する研究

(財)電力中央研究所 正員 尾崎幸男・石橋毅

1. はじめに

移動床流れは固定床とは異なり砂礫の輸送と河床波を伴うことからその抵抗則の阐明はかなり難しいものとなっている。この原因の一つとしては、各水理量を整理する際に用いるパラメータ（例えば無次元揚流力 γ_k など）自体にも種々な影響が含まれていることが上げられる（図-1）。

本報は、移動床流れの抵抗則に関する考察を行い、流动による抵抗増減の物理的意味について述べるとともに各水理量を無次元有効揚流力 γ_k' について整理検討し、外部パラメーターとして有効揚流力 γ_k' が直切であることを示したものである。

2. 抵抗の定義式

本研究においては抵抗則を次式で定義する。

$$\frac{v}{u_*} = \frac{2.3}{K} \log_{10} \left(12.27 \frac{R}{k_s} \right) \cong C \frac{k_s}{K} \left(\frac{R}{k_s} \right)^{\frac{1}{m}} \quad (1)$$

また、河床は完全粗面の状況 K あるとすると有効揚流力 γ_k' は次式から求められる（Einstein の方法）。

$$\frac{v}{u_*} = \frac{2.3}{K_0} \log_{10} \left(12.27 \frac{R'}{d} \right) \cong C \left(\frac{R'}{d} \right)^{\frac{1}{m}} \quad (2)$$

ここで K 、 v : 断面平均流速、 u_* : $\sqrt{g R I_e}$ 、 u'_* : $\sqrt{g R' I_e}$ 、 K 、 K_0 : 土砂流および清水の場合の Karman 定数で、 $K_0 = 0.4$ 、 k_s : 砂粒相当粗度、 d : 河床砂礫の（平均）粒径、 R 、 R' : 積深および有効積深、 I_e : エネルギー勾配、 C 、 m : 定数（表-1）。

表-1 C K m

R/k_s , R'/d	C	m
2 ~ 10	6.8	4
10^2 ~ 10^3	8.3	6
10^3 ~ 10^4	10.0	8
10^4 ~ 10^5	11.8	10

(準) Manning-Strickler $\frac{v}{u_*} = 7.66 \left(\frac{R}{k_s} \right)^{\frac{1}{n}}$

式(2)から有効積深 R' を求めると次式となる。

$$\frac{R'}{d} = \left[\frac{v}{C \sqrt{g d I_e}} \right]^{\frac{2m}{m+2}} \quad (3)$$

抵抗係数 γ_k 、表面摩擦抵抗係数 γ_k' 、揚流力 γ_k およ

び有効揚流力 γ_k' は下記で以下のように表わされる。
ただし、 s は河床砂礫の比重である。

$$\sqrt{\frac{f}{f_*}} = v/u_* \quad \sqrt{\frac{\gamma_k}{\gamma_k'}} = v/u'_* \quad (4)$$

$$\gamma_k = u_*^2 / [g(s-1)d] \quad \gamma_k' = u'_*^2 / [g(s-1)d] \quad (5)$$

さて、式(1)と(2)から次式を導くことができる。

$$\frac{K}{K_0} \left(\frac{k_s}{d} \right)^{\frac{1}{m}} \left(\frac{\gamma_k'}{\gamma_k} \right)^{\frac{m+2}{2m}} = 1 \quad (6)$$

この式から、 K/K_0 、 γ_k/γ_k' 、 k_s/d の3者は独立ではなく互いに従属関係にあることがわかる。問題はこれらうち2つを他の水理量と関係付けることである。一方、式(4)と(6)からは、抵抗の増減を示す次式を得る。

$$\frac{f}{f_*} = \left[\frac{\gamma_k}{\gamma_k'} \right] = \left(\frac{K}{K_0} \right)^{\frac{2m}{m+2}} \cdot \left(\frac{k_s}{d} \right)^{\frac{2}{m+2}} \quad (7)$$

Wash load による揚流
揚流砂や河床波
による抵抗の減少
による抵抗の増加

因 K 、Manning の粗度係数 n は次式で表わされる。

$$\frac{n}{d^{1/m} g} = C^{-1} \left(\frac{R}{d} \right)^{\frac{m-6}{6m}} \cdot \left(\frac{K}{K_0} \right) \cdot \left(\frac{k_s}{d} \right)^{\frac{1}{m}} \quad (8)$$

よって(7)、(8)により抵抗増減の物理的意味がわかる。

3. 実測資料による検討

前章の研究で抵抗に関する諸量、例えは k_s/d 、 v/u_* を揚流力 γ_k の商数として表わすこととは、既には種々の河床抵抗の効果が含まれており適切な表示とは言えない（図-1、2 参照）。そこで本研究では γ_k だけえて、砂礫の輸送に重要な役割を果たす有効揚流力 γ_k' を外部パラメーターとして各水理量の検討を行った。ここでは、用いた資料を表-2 に示す。

表-2 実測資料と記号の説明

- 1. 高瀬川現地実験(Flat & Antidunes):
 - △ No.1-1, $R/d_s = 2.82 \sim 4.41$, $R_b/d_s = 3.39 \sim 6.09$
 - No.1-7, $R/d_s = 1.84 \sim 3.14$, $R_b/d_s = 2.51 \sim 5.70$
- 2. Vanoni & Brooks の実験(Sand No.5):
 - Dunes $R/d_s = 313$, $d_g = \sqrt{d_s d_b}$
 - Sand Waves $R_b/d_s = 343 \sim 441$
 - Flat
- 3. Rio Grande River at Bernalillo(April-July, 1952):
 - △ Section A-2, $R/d_{45} = 2300 \sim 3420$
 - Section F, $R/d_s = 1030 \sim 2050$
- 4. Missouri River Mile 609-616 (1966-1975):
 - Dunes, $R/d_{45} = 11,100 \sim 16,800$

検討結果の1例を図-1から図-5に示した。

図-1の τ_{ab}/τ_{bc} によると v/U_{ab} には流れの多様性が顕著に現れさせ、 τ'_b/τ_{bc} を用いると図-2となり多様性はかなり解消できる。また、 v/U_{ab} は τ_{ab}/τ_{bc} に対して右下への傾向を、 τ'_b/τ_{bc} に対しては右上への傾向を示す。

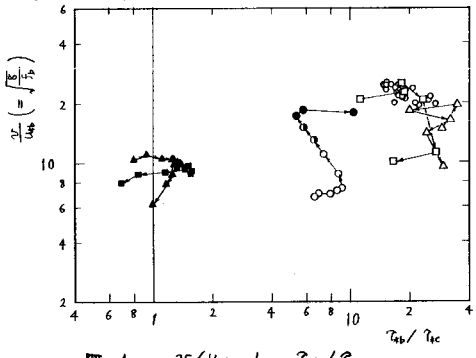


図-1 v/U_{ab} と τ_{ab}/τ_{bc}

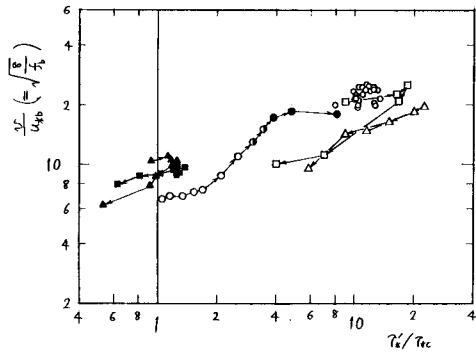


図-2 v/U_{ab} と τ'_b/τ_{bc}

ところで、河床形態の発生がより形成領域は河床安定理論などにより説明されつつあるが、この場合にもやはり図-3に示すように有効揚砂力 τ'_b/τ_{bc} を用いた方が良いものと考えられる。

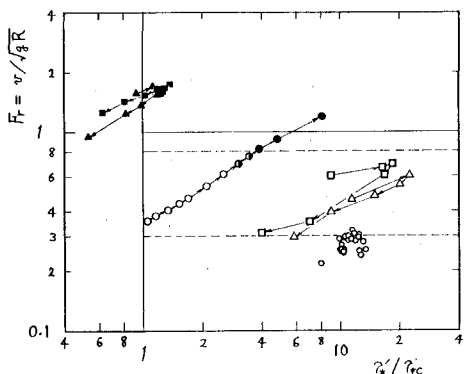


図-3 Froude 数 Fr と τ'_b/τ_{bc}

次に、河床の抵抗係数の増加の割合 f_b/f' と Karman 実数を含む形での相当粗度を示すのが図-4、5である。図-5は図-4を増幅したことに対応し、各水理量の精度はすべて相当粗度に大きく反映することがわかる。このように相当粗度の精度向上は重要な課題である。

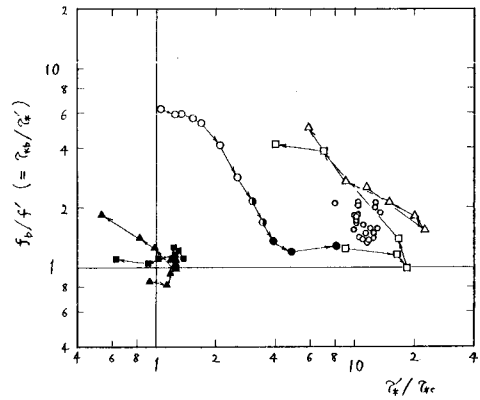


図-4 f_b/f' と τ'_b/τ_{bc}

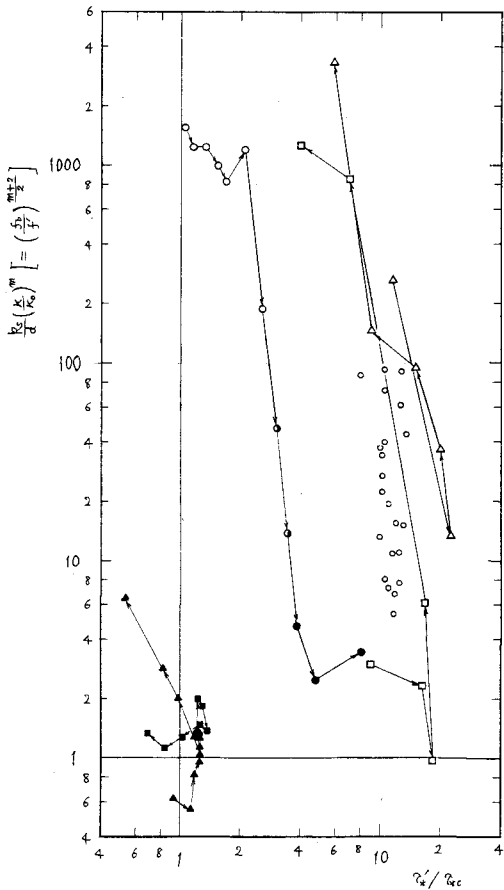


図-5 $(f_b/f')^m (\tau_{ab}/\tau_{bc})^{m+2}$ と τ'_b/τ_{bc}